

# КОМБИНАЦИОННОЕ РАССЕЯНИЕ СВЕТА В МОНОФАЗНОЙ КЕРАМИКЕ $YBa_2Cu_3O_{7-\delta}$

М.Ф. Лимонов, Ю.Ф. Марков,  
Э. Поллерт, А. Триска

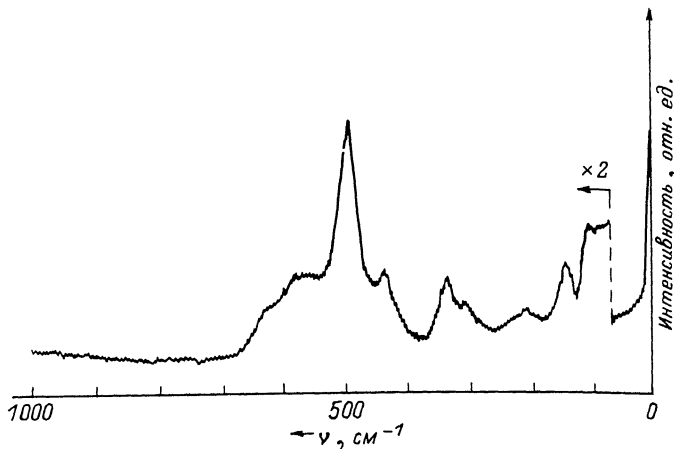
Для выяснения механизма сверхпроводимости в керамиках  $YBa_2Cu_3O_{7-\delta}$  важное значение имеет изучение колебательных спектров, которые позволяют получать информацию о частоте и затухании фононов, наличии или отсутствии различных примесей, а также о степени монофазности этих материалов.

Спектры комбинационного рассеяния (СКР) керамик  $YBa_2Cu_3O_{7-\delta}$  исследовались в ряде работ [1-3]. Было установлено, что эти объекты имеют крайне слабые СКР, причем в некоторых работах изучались лишь многофазные керамики [2], а из-за сильного уровня рассеянного света спектры удавалось надежно регистрировать начиная со  $150-200 \text{ см}^{-1}$  [1-3], отмечалось существенное уширение линий [3].

В настоящей работе исследованы спектры комбинационного рассеяния керамик состава  $YBa_2Cu_3O_{7-\delta}$ , где  $\delta \sim 0.37$ . Керамики были изготовлены спеканием  $Y_2O_3$ ,  $CuO$  и  $BaCO_3$  в кислородной атмосфере в течении 70 часов при  $T = 1220 \text{ K}$  [4]. В результате были получены соединения, имеющие резкий переход (температура перехода  $\Delta T < 1 \text{ K}$ ) в сверхпроводящее состояние при  $T_c = 92 \text{ K}$ . Фазовый переход из высокотемпературной тетрагональной фазы в ромбическую  $D_{4h} \rightarrow D_{2h}$  происходил в температурном диапазоне 830-890 K и исследовался рентгеноструктурным методом. На основе рентгеновских данных, а также экспериментов по дифракции нейтронов были получены значения параметров решетки, координаты атомов, распределение атомов по кислородным позициям [4].

СКР этих керамик исследовались на тройном раман-спектрометре „Dilor -24” с аргоновым лазером „Spectra-Physics”, мощность излучения на образце не превышала 300 мВт. Спектры изучались в геометрии рассеяния „назад” от полированной поверхности, а также от необработанного скола керамики. Интенсивность СКР была слабой, поэтому их запись проводилась в режиме многочтного сканирования, причем общее время регистрации спектров в диапазоне  $10-1000 \text{ см}^{-1}$  достигало нескольких часов. Исследуемые образцы находились в вакууме для устранения „паразитного” низкочастотного комбинационного рассеяния света, обусловленного вращательными уровнями молекул кислорода и азота воздуха.

Метод комбинационного рассеяния света был использован в настоящей работе также для анализа однородности состава исследуемых керамик: лазерный луч сканировался по поверхности образца, и с помощью микроскопа изучалось рассеянное излучение с площадки  $5 \times 5 \text{ мкм}^2$ .



Спектры комбинационного рассеяния света в керамике  $YBa_2Cu_3O_{7-\delta}$  при  $T = 300$  К.

Из результатов теоретико-группового анализа для керамики  $YBa_2Cu_3O_{7-\delta}$  (искаженная структура слоистого перовскита – ортотромбическая решетка  $D_{2h}$  с одной формульной единицей в примитивной ячейке) известно, что в СКР разрешено 15 колебаний следующей симметрии:  $5A_{1g} + 5B_{2g} + 5B_{3g}$  [5]. Однако при анализе СКР этих керамик следует учитывать следующее обстоятельство. Колебания симметрии  $B_{2g}$  и  $B_{3g}$  фазы  $D_{2h}$  появляются в результате расщепления дважды вырожденных колебаний  $E_g$  тетрагональной фазы  $D_{4h}$  ( $E_g \rightarrow B_{2g} + B_{3g}$ ) при структурном фазовом переходе  $D_{4h} \rightarrow D_{2h}$ , однако ромбическое искажение высокотемпературной тетрагональной структуры  $YBa_2Cu_3O_{7-\delta}$  невелико ( $b - a = 0.05\AA$  при  $T = 295$  К [4]), поэтому частоты колебаний  $B_{2g}$  и  $B_{3g}$  могут иметь близкие значения, и в случае весьма большой полуширины линий разрешить эти колебания в неполяризованных СКР очень сложно.

Спектры, полученные в настоящей работе, приведены на рисунке. В СКР наблюдались линии, имеющие следующие частоты:  $113, 146, 216, 307, 336, 436, 496, 580\text{ cm}^{-1}$ . Их полуширины лежат в диапазоне  $10-60\text{ cm}^{-1}$  (спектральная ширина щели в зависимости от расстояния до возбуждающей линии варьировалась от 1 до  $8\text{ cm}^{-1}$ ). Таким образом, в исследованных нами керамиках не наблюдалось значительное уширение линий, которое отмечалось при обсуждении СКР аналогичных объектов в [3]. Низкий уровень рассеянного света в спектрометре позволил исследовать низкочастотные спектры керамик начиная с  $10\text{ cm}^{-1}$ . Наиболее низкочастотная из обнаруженных линий имеет частоту  $113\text{ cm}^{-1}$ , значения частот и относительные интенсивности большинства более высокочастотных

линий СКР ( $140\text{--}600 \text{ см}^{-1}$ ), часть из которых соответствует связям  $\text{Cu}-\text{O}$ , коррелирует с результатами, приведенными в [1]. Следует также отметить хорошее совпадение частот и полуширин линий со значениями, полученными при изучении СКР орторомбических монокристаллов  $\text{YBa}_2\text{Cu}_3\text{O}_{7-\delta}$  в работе [6].

В результате микронализа исследованных образцов было установлено, что СКР, полученные от различных точек керамики, практически совпадают, что свидетельствует об их высокой однородности. Судя по спектрам, в данных керамиках отсутствует ряд „паразитных“ фаз, которые могут сопутствовать сверхпроводящей фазе  $\text{YBa}_2\text{Cu}_3\text{O}_{7-\delta}$ , например „зеленая“ фаза  $\text{Y}_2\text{Ba}_2\text{Cu}_3\text{O}_5$ . Действительно, наиболее интенсивная линия в СКР  $\text{Y}_2\text{Ba}_2\text{Cu}_3\text{O}_5$  имеет частоту  $389 \text{ см}^{-1}$  [7], однако в полученных нами спектрах такая линия отсутствует (см. рисунок). Сравнивая эти спектры с известными из литературы данными [2], аналогичным образом можно констатировать отсутствие в исследованных нами керамиках „паразитных“ фаз  $\text{Y}_2\text{O}_3$ ,  $\text{Y}_2\text{Cu}_2\text{O}_5$ .

Таким образом, в настоящей работе исследованы СКР сверхпроводящих керамик  $\text{YBa}_2\text{Cu}_3\text{O}_{7-\delta}$ , определены значения частот оптических СКР-активных фононов и установлена однородность состава этих образцов.

В заключение авторы выражают благодарность А.А. Каплянскому за обсуждение результатов настоящей работы.

#### Л и т е р а т у р а

- [1] Macfarlane R.M., Rosen H., Seki H. - Solid State Comm., 1987, v. 63, N 9, p. 831-834.
- [2] Rosen H., Engler E.M., Strand T.C., Lee V.Y., Bethune D. - Phys. Rev. B., 1987, v. 36, N 1, p. 726-728.
- [3] Головашкин А.И., Горелик В.С., Иваненко О.М., Мицен К.В., Файзуллов Т.Ф. - Краткие сообщения по физике ФИАН, 1987, № 10, с. 21-23.
- [4] Jirak Z., Pollert E., Triska A., Vratislav S. - Phys. Stat. Sol (a), 1987, v. 102, k. 61-66.
- [5] Yamakawa A., Minami F., Watanabe K., Inoue K., Takekewa S., Iyui N. - Japan J. Appl. Phys., 1987, v. 26, N 8, p. L1404-1406.
- [6] Баженов А.В., Гаспаров Л.В., Кулаковский В.Д., Мисочко О.В., Осильян Ю.А., Тимофеев В.Б. - Письма в ЖЭТФ, 1988, т. 47, в. 3, с. 162-165.
- [7] Udagawa M., Ogita N., Fukumoto A., Utsunomiya Y., Oh-

Физико-технический  
институт им. А.Ф. Иоффе  
АН СССР, Ленинград

Поступило в Редакцию  
14 апреля 1988 г.

Письма в ЖТФ, том 14, вып. 13

12 июля 1988 г.

## АВТОМАТИЧЕСКИЙ ПЛАЗМЕННЫЙ КРОУБАР

А.К. Сойка

При генерации сильных импульсных магнитных полей (СИМП) разрядом батареи конденсаторов на соленоид возникает проблема получения униполярных импульсов магнитного поля, когда направление его в соленоиде не меняется.

Известны два способа получения униполярных СИМП: 1) последовательное включение в разрядный контур сопротивления, величина которого нелинейно растет при убывании тока [1]; 2) параллельное включение в контур специального управляемого разрядника-замыкателя (так называемого кроубара), закорачивающего соленоид в максимуме или минимуме разрядного тока [1-3].

В первом случае удается получать униполярные импульсы, близкие по форме к первой полуволне разрядного тока при потерях в амплитуде порядка 30-40%. Еще более существенны здесь ограничения на длительности импульсов (до нескольких микросекунд) и на плотности токов (до 1 кА/см<sup>2</sup>), которые выдерживают известные нелинейные сопротивления.

Осуществление второго способа технически весьма трудно и требует сложной аппаратуры, особенно при закорачивании соленоида в первом максимуме тока, что представляет как раз наибольший практический интерес, т.к. в этом случае в соленоиде создается импульс поля с коротким (синусоидальным) фронтом нарастания и медленным (экспоненциальным) спадом напряженности. Главная трудность заключается в обеспечении поджига кроубара, который должен выдерживать максимальное напряжение разрядного контура, но надежно включаться при почти нулевом напряжении, которое соответствует максимуму тока в нем.

Настоящая работа посвящена принципиально новому решению проблемы получения униполярных СИМП. Оно основано на явлении расширения радиуса плазменного канала искрового разряда в газах [4-6], которое дает возможность использовать обычный управляемый искровой разрядник (тригатрон) одновременно в качестве коммутирующего элемента контура и в качестве кроубара.

На рис. 1 приведена схема разрядного LC-контура, поясняющая принцип работы предлагаемого плазменного кроубара [7]. Из